

## I-245 プレストレス応力を例とするPC連続合成桁の剛性マトリックス解析

岩手大学工学部	正 員	宮本 裕
岩手県庁土木部	正 員	沖野智章
秋田大学鉱山学部	正 員	川上 淳
岩手大学工学部	正 員	岩崎正二

## 1. まえがき

プレキャスト部材と場所打ちコンクリートを組み合わせた、PC連続合成桁の応力解析に関して、著者らはこれまで、乾燥収縮応力については発表済みである<sup>1)</sup>。そこでは同時に彦坂の実用式<sup>2)</sup>による応力法に対応する剛性マトリックス法(変位法)の一般式を提案し、特別な場合、つまり主桁のクリープを無視した場合は、著者らがすでに発表した鋼合成桁の解<sup>3)</sup>に一致することを確かめてある。

著者らの提案した一般式によると、乾燥収縮差による応力、主桁プレストレスによる応力、主桁自重による応力、床版自重による応力などの解析は、理論的にはそれぞれ可能であるが、具体的に解を求め既存の応力法と比較することは、今後の研究の基礎として重要である。

したがって本報告では、PC合成桁の主桁プレストレスによるクリープ応力解析を行い、それを彦坂の実用式による応力法の解と比較検討し、理論の妥当性を確かめたことを発表する。

## 2. 解析理論

ここでは、脚字1はプレキャスト主桁、脚字2は場所打床版に関する量を表す。

合成桁に作用する外力としてのモーメント $M_0$ と合成断面の重心に働く軸力 $N_0$ が与えられると、各断面への配分量は次式で求められる。

$$M_{10} = \frac{I_1}{I_v} M_0, \quad N_{10} = \frac{\alpha}{\alpha} N_0 + \frac{A_1 \alpha_1}{I_v} M_0, \quad M_{20} = \frac{I_2}{n I_v} M_0, \quad N_{20} = \frac{\alpha_1}{\alpha} N_0 - \frac{A_1 \alpha_1}{I_v} M_0 \quad (1)$$

時刻 $t=0$ のときの各断面に分配された断面力 $M_{10}$ ,  $N_{10}$ ,  $M_{20}$ ,  $N_{20}$ はコンクリートのクリープおよび収縮により $M_{1t}$ ,  $N_{1t}$ ,  $M_{2t}$ ,  $N_{2t}$ だけ変化するが、PC連続合成桁では2次不静定モーメントが発生するため、これらの変化量は2次不静定モーメントが生じない場合の解と、2次不静定モーメントに起因する量との和になる。

$$M_{1t} = M_{1t}^0 + M_{1tt}, \quad N_{1t} = N_{1t}^0 + N_{1tt} = -N_{2t}, \quad M_{2t} = M_{2t}^0 + M_{2tt}, \quad N_{2t} = N_{2t}^0 + N_{2tt} \quad (2)$$

ここで、 $M_{1t}^0$ ,  $N_{1t}^0$ ,  $M_{2t}^0$ は、それぞれ以下の式で表わされる。

$$\left. \begin{aligned} M_{1t}^0 &= \alpha N \frac{\varphi_2}{\varphi} \{1 - \exp(-\alpha \varphi)\}, & N_{2t}^0 &= -N_{1t}^0 = N \frac{\varphi_2}{\varphi} \{1 - \exp(-\varphi_2)\} \\ M_{2t}^0 &= \left( \frac{m}{n} \frac{I_2}{I_1} M_{10} - M_{20} \right) \{1 - \exp(-\varphi_2)\} \\ &+ \frac{I_2}{n I_1} \alpha N \frac{\alpha}{1-\alpha} \{1 - \exp(-\varphi_2)\} \frac{\varphi_2}{\varphi} - \{1 - \exp(-\alpha \varphi)\} \end{aligned} \right\} \quad (3)$$

$$\text{ただし, } N = \frac{E_2 A_2 S_n}{\varphi_{2n}} - N_{20} + \frac{m A_2}{n A_1} (N_{10} - \frac{A_1 \alpha}{I_1} M_{10}), \quad m = \frac{\varphi_1}{\varphi_2} \quad (\text{mは定数})$$

$$\alpha = 1 / \{1 + \frac{A_2}{n A_1} (1 + \frac{A_1 \alpha^2}{I_1})\}, \quad \varphi = (1 + \frac{1-\alpha}{\alpha} m) \varphi_2 = \varphi_2 + \frac{1-\alpha}{\alpha} \varphi_1$$

また $\varphi_1$ ,  $\varphi_2$ は $t=0$ 以後のプレキャスト桁および床版のクリープ係数、さらに $t \rightarrow \infty$ における両者の乾燥収縮ひずみ差を $S_n$ ,  $\varphi_2$ の終局値を $\varphi_{2n}$ とする。

主桁プレストレスのみによるクリープの影響を解析する場合の初期断面力は、 $N_{10}$ は $t=0$ における鋼材緊張力により求められ、 $N_{20}=M_{20}=0$ で、 $M_{10}$ はPC鋼材の曲線配置により、偏心距離を $e$ 、鋼材緊張力を $P$ として単純に $M_{10}=P \times e$ で求められる。なお当然 $S_n=0$ とする。

さらに $M_{1tt}$ ,  $N_{2tt}$ ,  $M_{2tt}$ は、それぞれ文献<sup>2)</sup>では応力法で計算しているのに対して、ここでは、次の剛性マトリックスを用いる。

$$\begin{Bmatrix} Q_v(0)/E_1 I_v \\ M_v(0)/E_1 I_v \\ Q_v(\ell)/E_1 I_v \\ M_v(\ell)/E_1 I_v \end{Bmatrix} = \begin{Bmatrix} 12/\ell^3 & -6/\ell^2 & -12/\ell^3 & -6/\ell^2 \\ 4/\ell & 6/\ell^2 & 2/\ell & \\ \text{Sym.} & 12/\ell^3 & 6/\ell^2 & \\ & 4/\ell & & \end{Bmatrix} \begin{Bmatrix} y(0) \\ y'(0) \\ y(\ell) \\ y'(\ell) \end{Bmatrix} + \begin{Bmatrix} (\bar{M}_{1t}^0(1) - \bar{M}_{1t}^0(2))/(E_1 I_1 \ell) \\ -\bar{M}_{1t}^0(1)/E_1 I_1 \\ (\bar{M}_{1t}^0(2) - \bar{M}_{1t}^0(1))/(E_1 I_1 \ell) \\ \bar{M}_{1t}^0(2)/E_1 I_1 \end{Bmatrix} \quad (4)$$

ここで、剛性マトリックスの荷重項として $\bar{M}_{1t}^0 = \{1 - \exp(-\varphi_1)\} M_{10} + M_{1t}^0$ とおく。この剛性マトリックスを用いて $Q_v$ と $M_v$ が求められるが、その $M_v$ から、 $M_{1tt} = M_v(I_1 / I_v)$ として $M_{1tt}$ を計算することができる。詳しくは文献<sup>5)</sup>を参照されたい。

### 3. 計算例

Fig. 1のような日本道路公団が採用した、変断面3径間連続合成桁について、本報告の剛性マトリックス法による値と文献<sup>2)</sup>による値とを比較した。ここで $P = 535.1 t$  ( $5244 KN$ )とする。

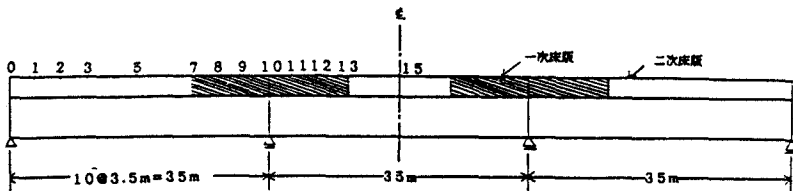


Fig. 1

Table 1

主桁のヤング係数  $E_1 = 3.5 \times 10^5 \text{ kg/cm}^2$  床版のヤング係数  $E_2 = 3.25 \times 10^5 \text{ kg/cm}^2$

桁上の位置	(5)			(10)			(15)			
	$\sigma_{1t}$	$\sigma_{1t}'$	$\sigma_{2t}'$	$\sigma_{1t}$	$\sigma_{1t}'$	$\sigma_{2t}'$	$\sigma_{1t}$	$\sigma_{1t}'$	$\sigma_{2t}'$	
$\varphi_1=0.8$	本報告	36.4	-34.1	0.8	37.0	-16.8	-25.4	65.2	-46.4	-12.3
$\varphi_2=2.0$	彦坂氏	37.7	-34.9	0.8	38.9	-17.1	-25.6	67.8	-48.0	-11.7
$\varphi_1=0.4$	本報告	18.8	-19.3	0.9	21.7	-13.9	-9.3	34.2	-28.9	-3.6
$\varphi_2=4.0$	彦坂氏	19.5	-19.8	0.7	22.3	-14.4	-9.1	35.7	-30.0	-3.9

ここでは、クリープ係数差が比較的小さいものと大きいものとを例にあげたが、文献<sup>2)</sup>の全体の結果についても、本報告と彦坂による値はよく一致している。

#### 【参考文献】

- 彦坂：変断面連続合成桁橋のクリープおよび収縮応力解法、土木学会論文報告集、No.199, 1972
- 彦坂：PC合成連続桁のクリープおよび収縮応力解析、プレストレストコンクリート、Vol.15, No.3, June 1973
- 宮本、渡辺：変断面連続合成桁のPC鋼材によるプレストレスのクリープ応力解析、土木学会第35回年次学術講演会講演概要集 I-33, 1980
- Miyamoto: Berechnung des Durchlaufverbundträgers mit Hilfe des Weggrößenverfahrens, FG Werkstoffmechanik TH Darmstadt FF-7/ 1982
- 宮本、川上、小泉、石田：剛性マトリックス法によるPC連続合成桁の乾燥収縮応力解析、土木学会構造工学論文集 Vol. 36A, 1990